

2次元フィンスラー空間の例と 暗号システムへの試み

永野哲也 (長崎県立大学)*

概 要

2次元フィンスラー空間の具体例を3つ提示し、その中の1つを用いて公開鍵暗号の可能性と具体例を示した。

はじめに

一般に、フィンスラー空間は種々の非対称性を持つ。フィンスラー空間では、幾何的対象に向きを込めて扱う。例えば、点 p と q を結ぶ曲線 c は、 p から q へ向かうか、逆に q から p へ向かうかの2つ存在する。よって、同じ像を持つ曲線でも p から q へ向かう曲線の長さ(弧長)と、 q から p へ向かう弧長が異なる。また2点間の最短曲線として測地線というものがあるが、2点 p, q を結ぶ測地線は像がそもそも一般に異なる。第1節で2点を結ぶ測地線の像が異なる例、一致する例、片側だけ一致する例の3つを示す。第2節で例その2を用いて、公開鍵暗号の具体例を示す。

1. 2次元フィンスラー空間の具体例

$M \subset \mathcal{R}^2$, (x, y) : \mathcal{R}^2 の座標系, (\dot{x}, \dot{y}) : $T_{(x,y)}M$ の座標系, (x, y, \dot{x}, \dot{y}) : TM の座標系

例 その1 基本関数: $F(x, y, \dot{x}, \dot{y}) = \sqrt{\dot{x}^2 + \dot{y}^2} - y\dot{x}$ (図1参照)

$$\text{単位球面 (基準面): } \frac{(\dot{x} - \frac{y}{1-y^2})^2}{(1-y^2)^2} + \frac{\dot{y}^2}{1-y^2} = 1 \quad \text{on } T_{(x,y)}M$$

$$M = \{(x, y) \mid -1 < y < 1\}$$

測地線:

$$\begin{cases} x(t) = a \cos t + b \sin t + c_1 \\ y(t) = b \cos t - a \sin t + c_2, \quad (a^2 + b^2 = 1) \end{cases} \quad (1)$$

$$\text{i.e. } (x - c_1)^2 + (y - c_2)^2 = 1$$

例 その2 基本関数: $F(x, y, \dot{x}, \dot{y}) = \sqrt{\dot{x}^2 + \dot{y}^2} - y\dot{y}$ (図2参照)

$$\text{単位球面 (基準面): } \frac{\dot{x}^2}{1-y^2} + \frac{(\dot{y} - \frac{y}{1-y^2})^2}{(1-y^2)^2} = 1 \quad \text{on } T_{(x,y)}M$$

$$M = \{(x, y) \mid -1 < y < 1\}$$

測地線:

$$\begin{cases} x(t) = at + b \\ y(t) = ct + d, \quad (a^2 + c^2 = 1) \end{cases} \quad (2)$$

$$\text{i.e. } c(x - b) - a(y - d) = 0$$

*本講演は、平成30年度長崎県立大学学長裁量研究費「フィンスラー空間の非対称性を応用した新公開鍵暗号の具体例の構成」に基づく発表である。

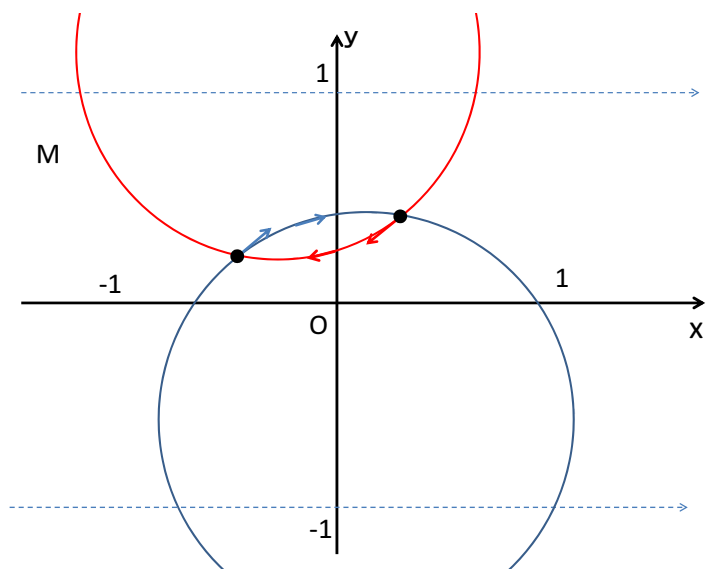


図 1: 測地線の像が異なるフィンスラー空間

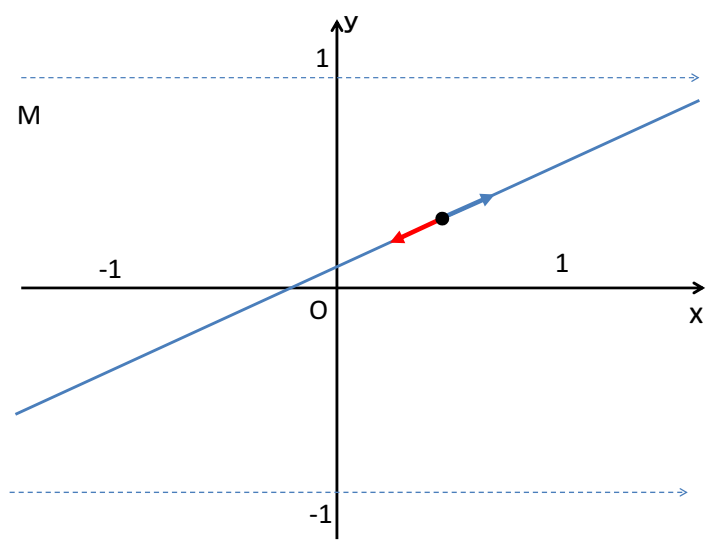


図 2: 測地線の像が一致するフィンスラー空間

例 その3 基本関数: $F(x, y, \dot{x}, \dot{y}) = \sqrt{\dot{x}^2 + \dot{y}^2} - e(y)\dot{x}$ (図3参照)

$$e(y) = \begin{cases} e^{-\frac{1}{y}} & (y > 0) \\ 0 & (y \leq 0) \end{cases}$$

(関数 $e(y)$ は、 $y = 0$ で C^∞ -級につながっている)

$$M = \mathcal{R}^2$$

測地線:

(I) $y \leq 0$ の場合

$$F(x, y, \dot{x}, \dot{y}) = \sqrt{\dot{x}^2 + \dot{y}^2}$$

可逆直線 (方程式は擬似パラメータ t の一次式)

(II) $y > 0$ の場合

$$F(x, y, \dot{x}, \dot{y}) = \sqrt{\dot{x}^2 + \dot{y}^2} - e^{-\frac{1}{y}}\dot{x}$$

$$\begin{cases} \dot{x} = \frac{dx}{dt} = e^{-\frac{1}{y}} + a \quad (a: \text{定数}) \\ \dot{y} = \frac{dy}{dt} = \pm \sqrt{1 - (e^{-\frac{1}{y}} + a)^2} \end{cases}$$

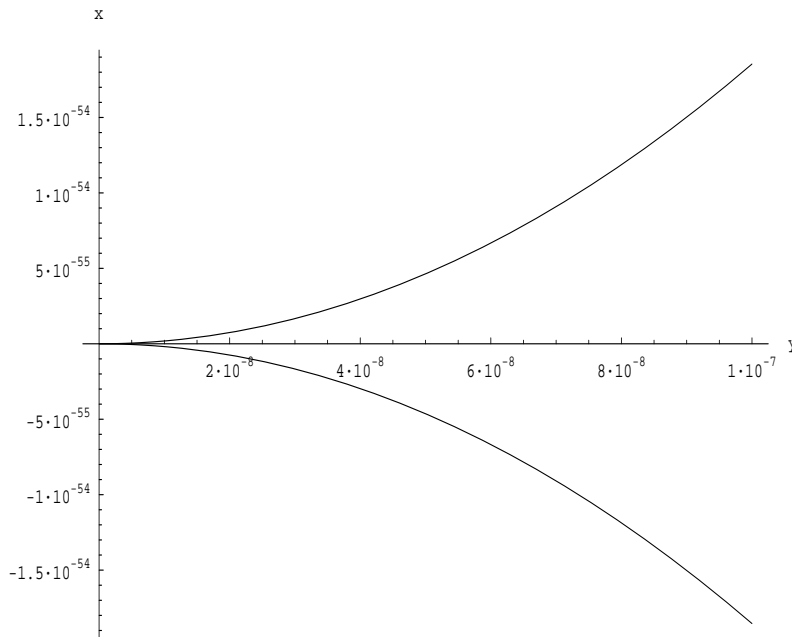


図 3: 測地線の像が片側だけ一致するフィンスラー空間

2. 暗号システムへの試み

フィンスラー空間がもつ別の非対称に、平行移動の非対称というものがある。

<線形平行移動>

$F\Gamma = (N_j^i(x, y), F_{rj}^i(x, y), C_{rj}^i(x, y))$: あるフィンスラー接続

$c(t) = (c^i(t))$: 曲線, $v(t) = (v^i(t))$: c に沿うベクトル場

$$v : c \text{ に沿う平行ベクトル場} \iff \frac{dv^i}{dt} + F_{rj}^i(c, \dot{c})v^r \dot{c}^j = 0 \quad (3)$$

線形平行移動：始点と終点における接空間の線形写像 (図4 参照)

*線形平行移動は向きに依存する。

平行ベクトル場 $v(t)$ の逆ベクトル場 $v^{-1}(\tau)$ ($\tau = a+b-t$) は、必ずしも、逆曲線 $c^{-1}(\tau)$ に沿う平行ベクトル場にならない (平行移動の非対称性)。

初期ベクトル v_0 を線形平行移動で p から q まで移動し、続いて、 q から p へ線形平行移動した場合、一般に、 v_0 に戻らない。ただし、測地線に沿う内積は、一定になる。

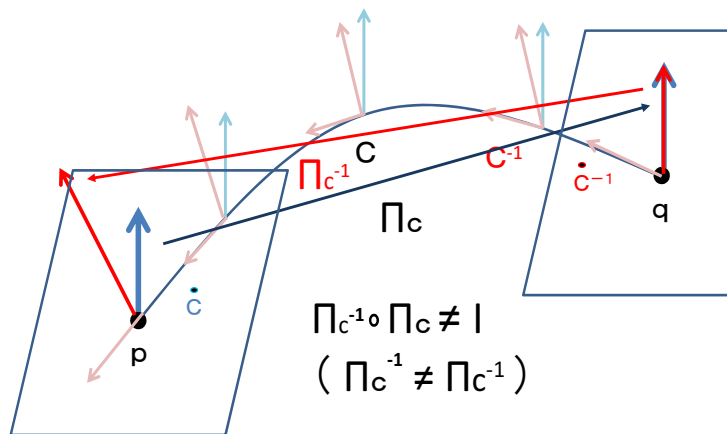


図 4: 非対称な平行移動

例その2のフィンスラー空間を用いて、平行移動の非対称性から次をマスターキーとする公開鍵暗号を提案した。

$$\Pi_{c_m}(t) = \left(\begin{array}{c} \frac{\sqrt{1-m^2(-1+t+t_0)} - m^2(-1+t+t_0)\sqrt{1-m^2(-1+t_0)}}{(1-m^2(-1+t+t_0))^{\frac{3}{2}}} \\ \frac{m\sqrt{1-m^2(-1+t+t_0)} - m\sqrt{1-m^2(-1+t_0)}}{(1-m^2(-1+t+t_0))^{\frac{3}{2}}} \\ \frac{m(-1+t+t_0)\sqrt{1-m^2(-1+t_0)} - m(-1+t_0)\sqrt{1-m^2(-1+t+t_0)}}{(1-m^2(-1+t+t_0))^{\frac{3}{2}}} \\ \frac{\sqrt{1-m^2(-1+t_0)} - m^2(-1+t_0)\sqrt{1-m^2(-1+t+t_0)}}{(1-m^2(-1+t+t_0))^{\frac{3}{2}}} \end{array} \right) \quad (4)$$

$$E(v(t)) = \frac{1}{(1+m^2)^2} \left(((1+m^2)^2 - m^4(t+t_0))(v^1)^2 - 2m(t+t_0)v^1v^2 + (1+m^2(-1+(t+t_0))(-2+m^2(-1+(t+t_0))+(t+t_0)))(v^2)^2 \right) \quad (5)$$

<秘密鍵・公開鍵>

秘密鍵 : $m = 3, t_0 = \frac{1}{2}$

公開鍵 1 :

$$PK1 = \left(\begin{array}{cc} \frac{1}{1-9(t-\frac{1}{2})} - \frac{3m\sqrt{\frac{11}{2}}(t-\frac{1}{2})}{(1-9(t-\frac{1}{2}))^{3/2}} & \frac{m\sqrt{1-9(t-\frac{1}{2})}-m\sqrt{\frac{11}{2}}+6\sqrt{\frac{11}{2}}t}{2(1-9(t-\frac{1}{2}))^{3/2}} \\ \frac{m}{1-9(t-\frac{1}{2})} - \frac{3\sqrt{\frac{11}{2}}}{(1-9(t-\frac{1}{2}))^{3/2}} & \frac{\sqrt{\frac{11}{2}}}{(1-9(t-\frac{1}{2}))^{3/2}} - \frac{3m}{2(9(t-\frac{1}{2})-1)} \end{array} \right)$$

公開鍵 2 :

$$PK2 = \frac{1}{100} \left(\frac{119}{2}(v_0^1)^2 - 3v_0^1v_0^2 + 28(v_0^2)^2 \right)$$

数値実験

平文 $v(t_0) = (1023, 2301)$

秘密鍵 : $m = 3, t_0 = \frac{1}{2}$

$$\text{公開鍵 1 } PK1 = \left(\begin{array}{cc} \frac{1}{1-9(t-\frac{1}{2})} - \frac{3m\sqrt{\frac{11}{2}}(t-\frac{1}{2})}{(1-9(t-\frac{1}{2}))^{3/2}} & \frac{m\sqrt{1-9(t-\frac{1}{2})}-m\sqrt{\frac{11}{2}}+6\sqrt{\frac{11}{2}}t}{2(1-9(t-\frac{1}{2}))^{3/2}} \\ \frac{m}{1-9(t-\frac{1}{2})} - \frac{3\sqrt{\frac{11}{2}}}{(1-9(t-\frac{1}{2}))^{3/2}} & \frac{\sqrt{\frac{11}{2}}}{(1-9(t-\frac{1}{2}))^{3/2}} - \frac{3m}{2(9(t-\frac{1}{2})-1)} \end{array} \right)$$

$$\text{公開鍵 2 } PK2 = \frac{1}{100} \left(\frac{119}{2}(v_0^1)^2 - 3v_0^1v_0^2 + 28(v_0^2)^2 \right)$$

$t = \frac{1}{4}$ として、暗号文 $\{PK1(\frac{1}{4})v(t_0), PK2(v(t_0))\}$ を作成。

$$v(t) = PK1(\frac{1}{4})v(t_0) = \left(\frac{3}{169} ((19942 - 511\sqrt{286})m + 2301\sqrt{286} + 17732), -\frac{6}{169} (512\sqrt{286} - 38779m) \right)$$

$$PK2(v(t_0)) = \frac{406911069}{200}$$

次に、受信者が t の値を求めるための計算。 $m = 3, t_0 = \frac{1}{2}$ から

$$PK2(v(t)) = \frac{108t(15(1046866981-9163776\sqrt{286})t+118365440\sqrt{286}-19221457233)+99(6429090587-22909440\sqrt{286})}{109850}$$

方程式 $PK2(v(t)) = PK2(v(t_0))$ を解くと

$$\text{方程式の解 : } t = \frac{1}{4}, \frac{19(17684480\sqrt{286}-3220148643)}{60(9163776\sqrt{286}-1046866981)} \quad (t \text{ の範囲から、} t = \frac{1}{4} \text{ のみが求める解)}$$

$m = 3, t_0 = \frac{1}{2}, t = \frac{1}{4}$ から

$$PK1(1/4) = \left(\begin{array}{cc} \frac{4}{13} + \frac{9\sqrt{\frac{22}{13}}}{13} & \frac{8 \left(\frac{3\sqrt{\frac{11}{2}}}{4} + \frac{3}{2}(-\sqrt{\frac{11}{2}} + \frac{\sqrt{13}}{2}) \right)}{13\sqrt{13}} \\ \frac{12}{13} - \frac{12\sqrt{\frac{22}{13}}}{13} & \frac{18}{13} + \frac{4\sqrt{\frac{22}{13}}}{13} \end{array} \right)$$

$$v(1/4) = \left(\frac{3}{169} \left(17732 + 2301\sqrt{286} + 3 \left(19942 - 511\sqrt{286} \right) \right), -\frac{6}{169} \left(512\sqrt{286} - 116337 \right) \right)$$

$$\therefore \text{平文 } v(t_0) = PK1^{-1}(1/4)v(1/4) = (1023, 2301)$$

となる。

このシステムが暗号としてどの程度の強度を持つかの評価は、今後の研究課題である。

参考文献

- [1] M. Crampin : *Randers spaces with reversible geodesics*, Publ. Math. Debrecen, 67(3-4):401-409,2005.
- [2] N. Innami, T. Nagano, and K. Shiohama. : *Geodesics in a Finsler surface with one-parameter group of motions*, Publ. Math. Debrecen, 89(1-2):137-160, 2016.
- [3] N. Innami, Y.Itokawa, T. Nagano, and K. Shiohama.: *Parallel axiom and the 2-nd order differentiability of Busemann functions*, Publ. Math. Debrecen, 91(3-4):403-425, 2017.
- [4] 永野哲也 : 逆線形平行移動を与える曲線の存在について, 2018年日本数学会年度会幾何学分科会講演アブストラクト. p1 – 2, 東京大学, 3月18日, 2018.